

# Mise en œuvre par voie liquide de composites à matrice inorganique pour applications hautes températures

Gilles Dusserre, Anaïs Farrugia, Thierry Cutard

# Les composites « tièdes »

### Objectifs du projet FUI COMPTINN'

- Développement de matériaux composites pour pièces de structure situées à proximité des moteurs (aéronautique civile)
- Exposition de longue durée à des températures de 150 à 400°C

### Thèse d'Anaïs Farrugia

Relations procédé – microstructure – comportement de composites à matrice vitrocéramique mis en œuvre par voie liquide

### Matériau de référence

- Composite à matrice vitrocéramique et à renfort fibres de carbone
- Mise en œuvre par stratification de plis pré-imprégnés avec un précurseur liquide

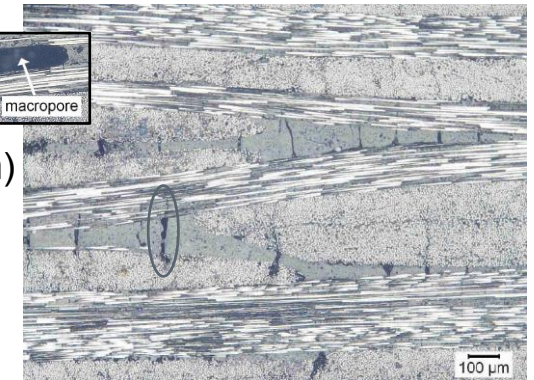
Mise en œuvre par voie liquide de composites à matrice inorganique

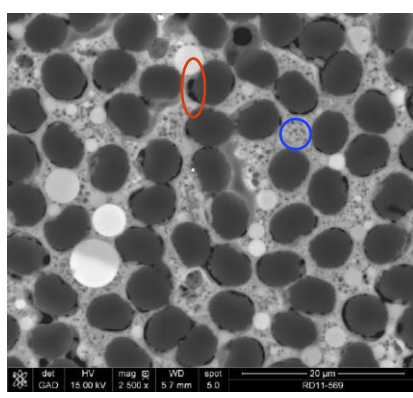


# Le matériau pré-imprégné de référence

### **Microstructure**

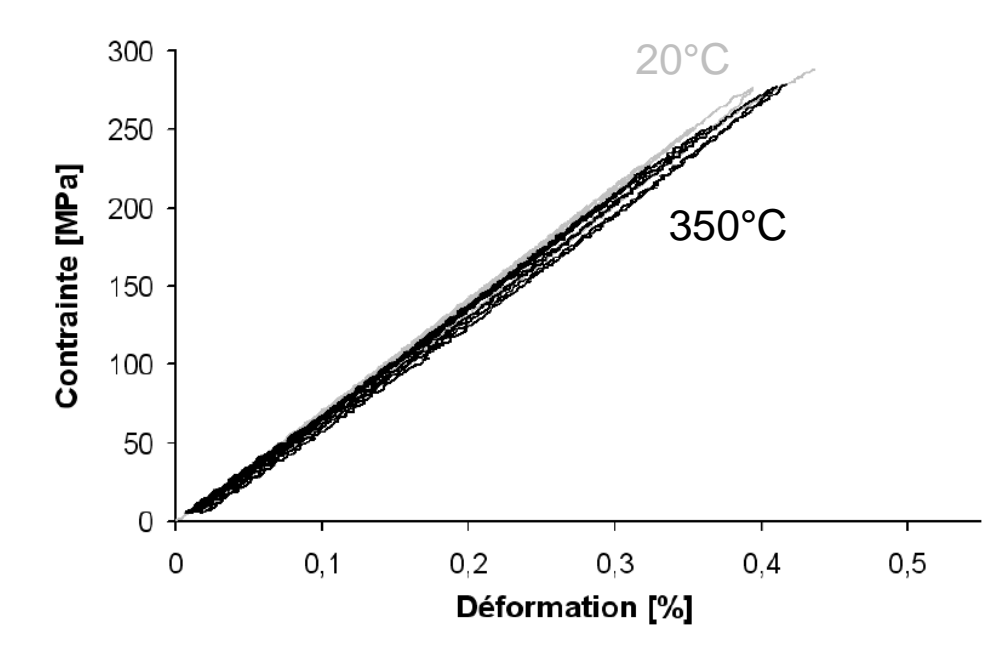
- Faible macro-porosité (>100µm)
- Micro-porosité à l'interface fibre-matrice (>1µm)
- Matrice nano-poreuse (<1µm)
- Micro-fissuration matricielle





### Comportement mécanique

Intérêt : comportement à température élevée





# Mise en œuvre par voie liquide

### Intérêt des procédés voie liquide

Procédés industrialisables et automatisables (production en moyenne série)

### Précurseur liquide

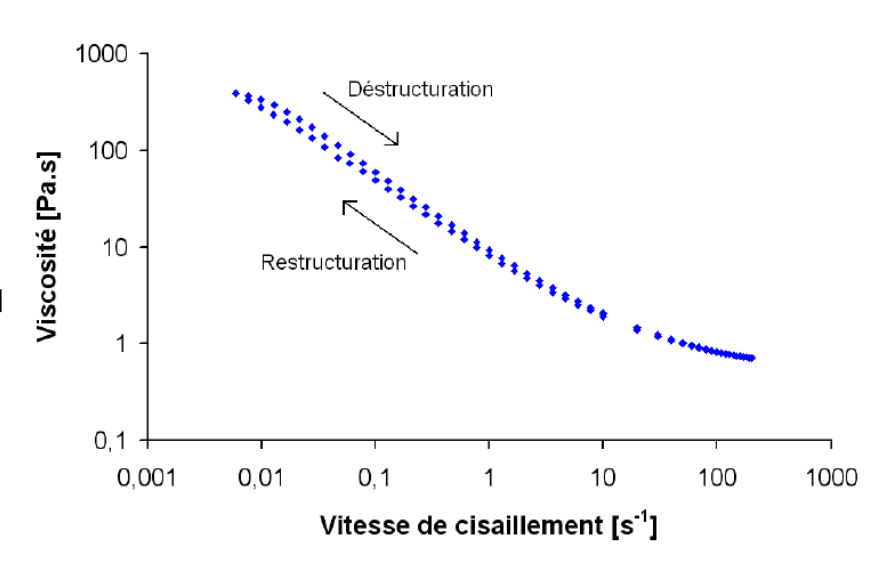
 Suspension concentrée de particules minérales (aluminosilicates) dans une solution aqueuse de silicates

## Avantage : durcissement à basse température (<100°C)</p>

- Mécanisme [1,2]
  - Dissolution des particules minérales
    - silicates et aluminates
  - Formation d'oligomères d'aluminosilicates
  - Polycondensation de ces oligomères

# Inconvénient : comportement rhéologique du précurseur

- Comportement thixotrope
- Forte viscosité aux faibles taux de cisaillement

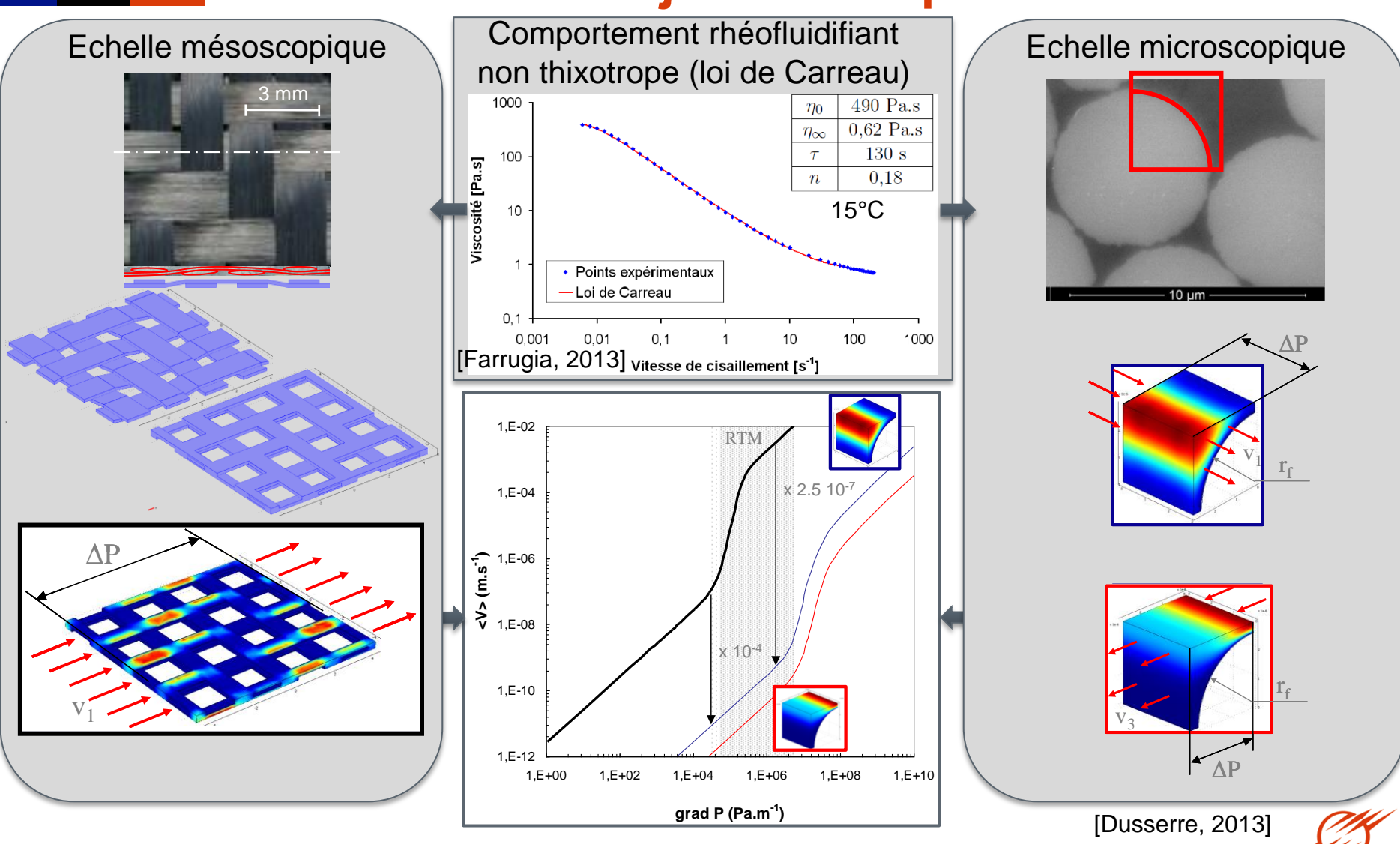


[1] Xu and Deventer, 2000

[2] Bourlon, 2010



# Simulation de l'injection du précurseur « frais »

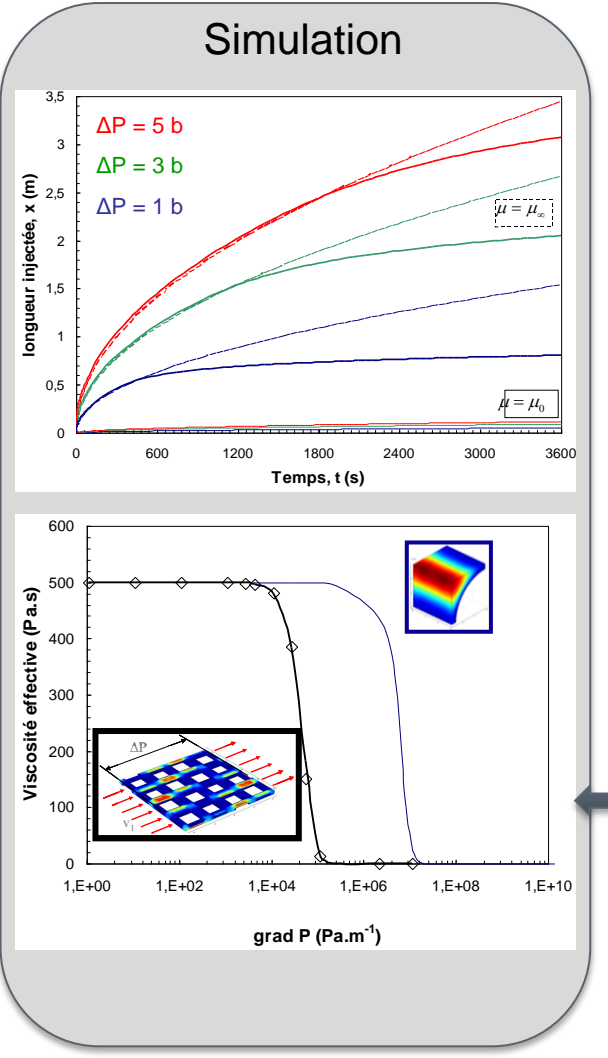


MINES

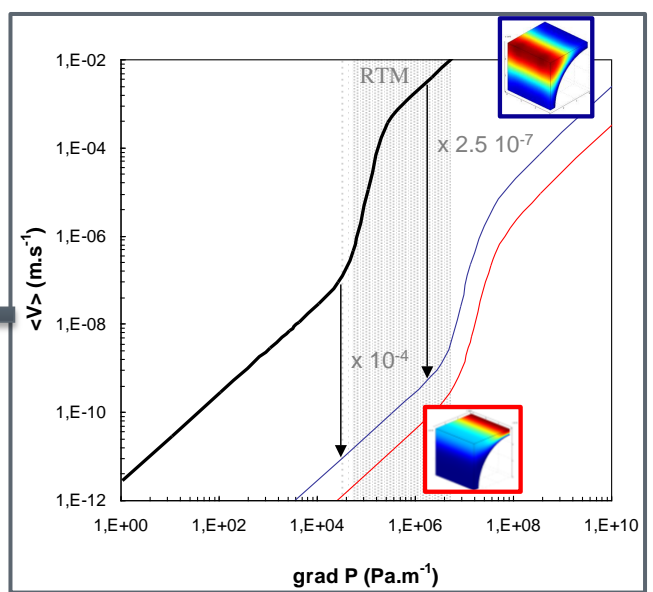
Albi-Carmaux

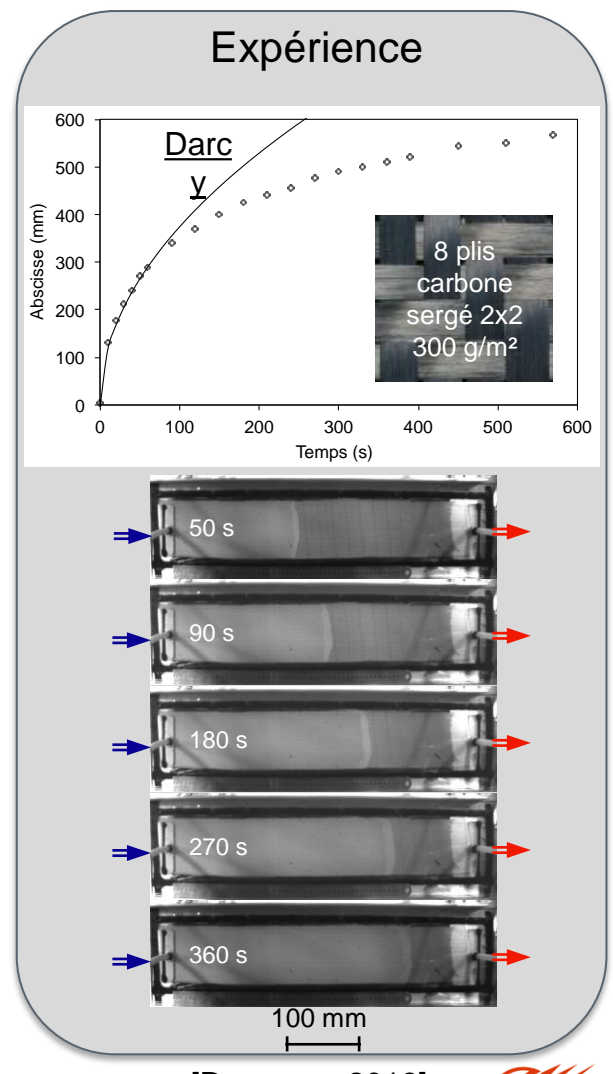
11/04/2016

# Simulation de l'injection du précurseur « frais »



Echelle macroscopique





# « maturation » du précurseur

### ■ A 20°C pendant 75 minutes

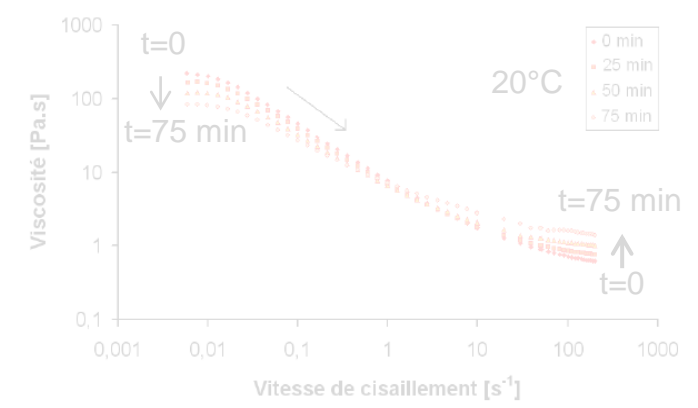
- La viscosité aux faibles taux de cisaillement diminue
  - Attribué à la dissolution des particules
- La viscosité aux forts taux de cisaillement augmente
  - Attribué à la polycondensation des oligomères d'aluminosilicates

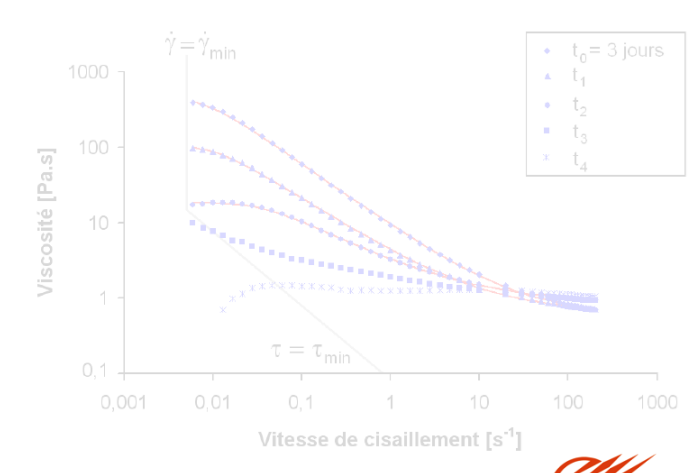
### ■ A 15°C pendant 75 minutes

- La viscosité aux faibles taux de cisaillement diminue légèrement
  - La dissolution a lieu
- La viscosité aux forts taux de cisaillement est stable
  - La polycondensation ne se manifeste pas

## A -18°C et sur des temps plus longs

- Le comportement tend vers celui d'un fluide Newtonien de viscosité 1 Pa.s
  - La quasi totalité des particules est dissoute





[Farrugia, 2013]

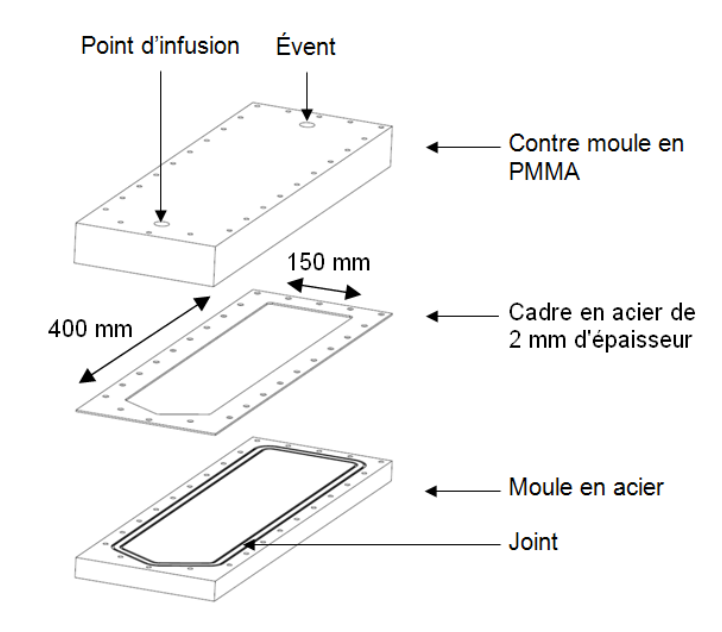
11/04/2016

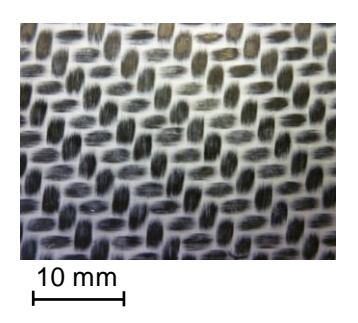
# Mise en œuvre par voie liquide

### Conditions de mise en œuvre

- Injection sur renforts (RTM)
- Précurseur « mature »
  - particules majoritairement dissoutes
  - comportement Newtonien
  - viscosité d'environ 1 Pa.s
- Température d'injection 15°C
  - temps de mise en œuvre suffisant
- Différentiel de pression de 3 bars



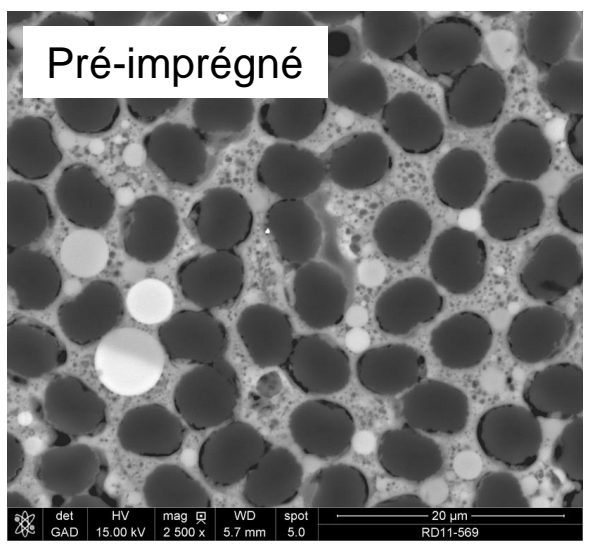


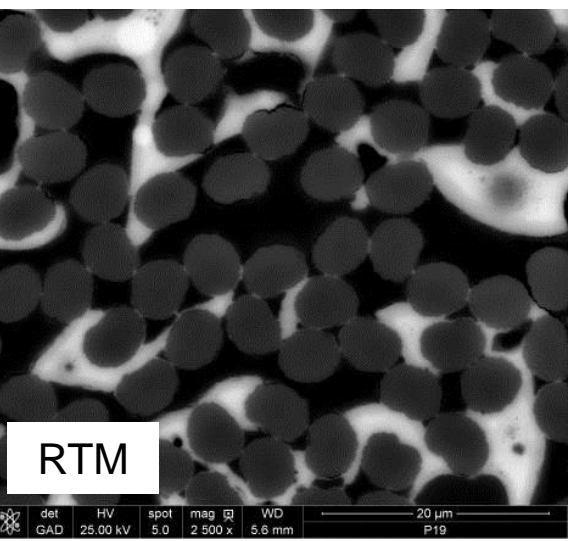


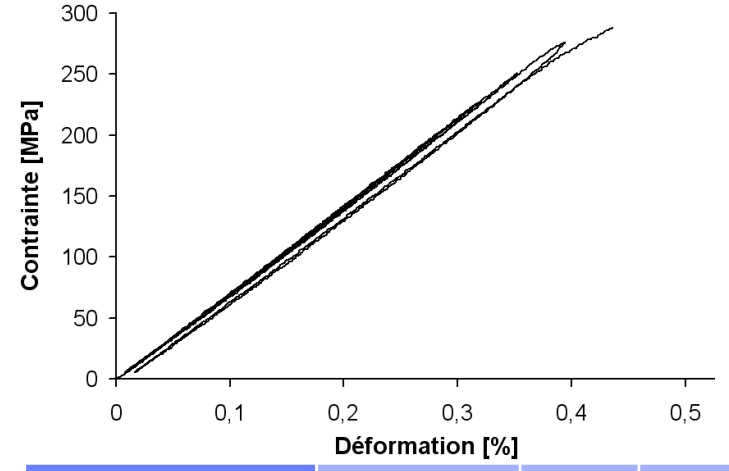
[Farrugia, 2013]



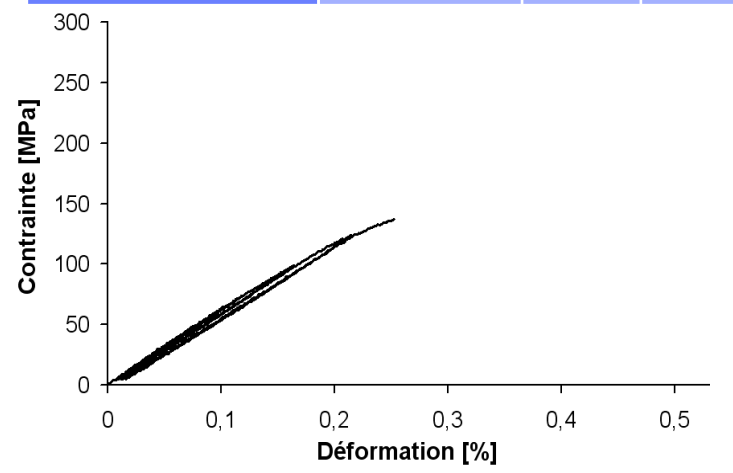
# Comportement du matériau obtenu par RTM







Composite	Épaisseur	$V_f$	PO	E	$\sigma_{\!\scriptscriptstyle R}$
Pré-imprégné	1,78 mm	38 %	18,4 %	70 GPa	266 MPa
RTM	2,30 mm	36 %	25,1 %	66 GPa	135 MPa



V<sub>f</sub>: taux volumique de fibre

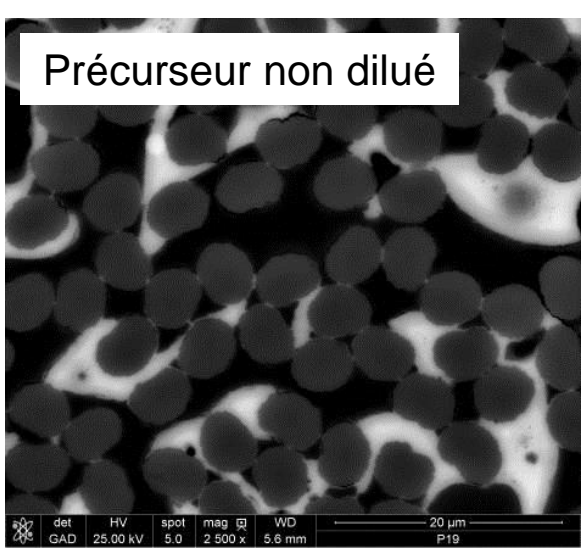
PO: taux de porosités ouvertes

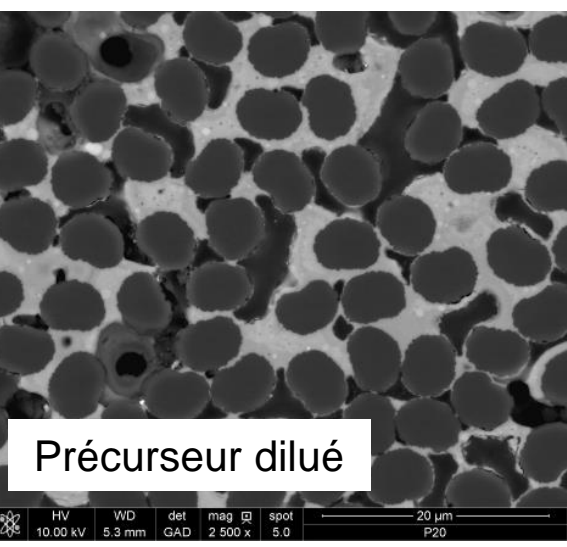
E: module d'Young

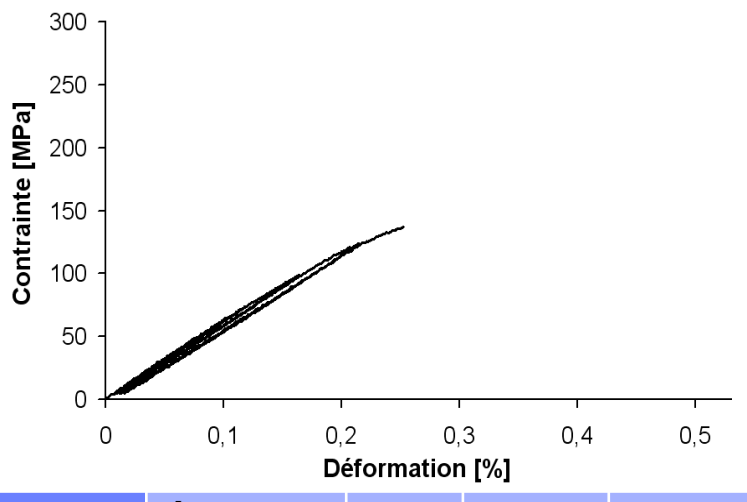
 $\sigma_R$ : contrainte à la rupture

[Farrugia, 2013]

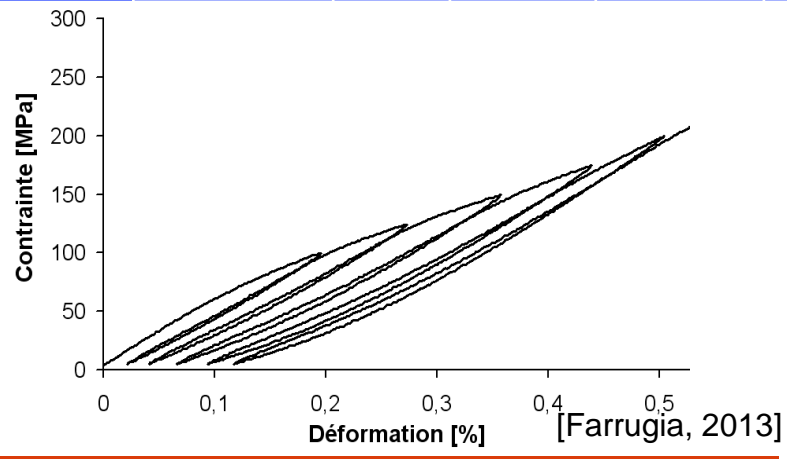
# Effet de la dilution sur le matériau RTM





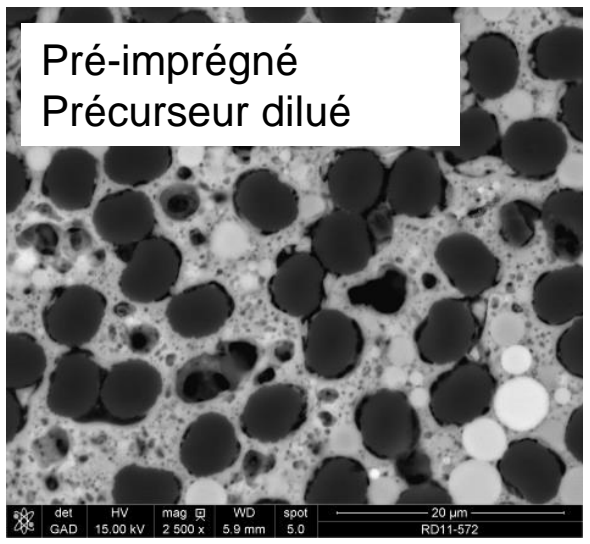


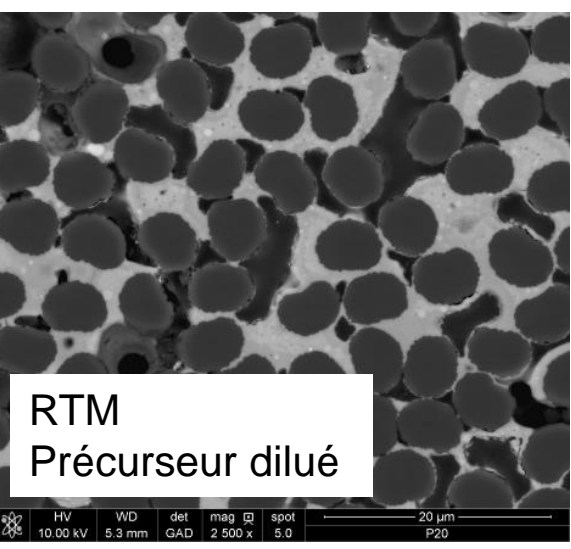
Composite	Précurseur	Épaisseur	$V_f$	PO	E	$\sigma_{\!\scriptscriptstyle R}$
RTM	non dilué	2,30 mm	36 %	25,1 %	66 GPa	135 MPa
	dilué 3%	2,10 mm	39 %	25,2 %	64 GPa	207 MPa

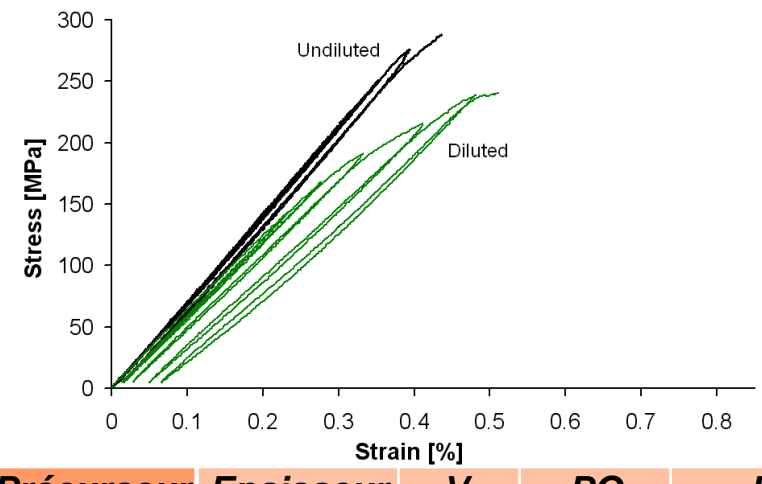




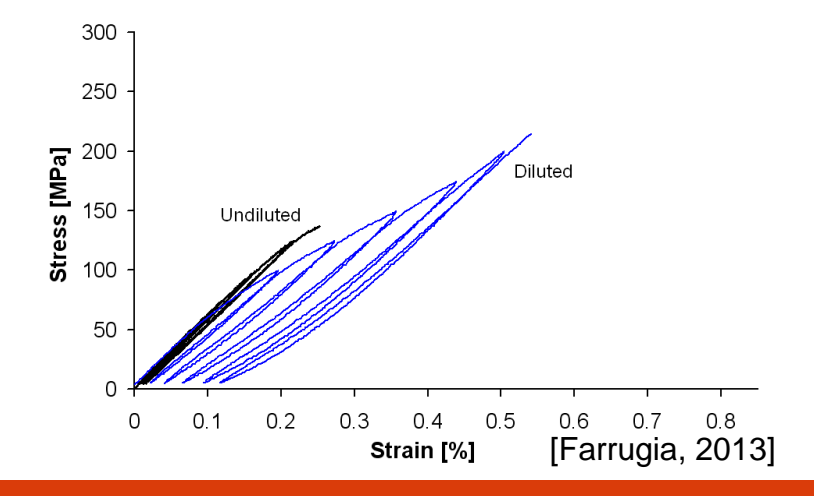
# Effet de la mise en œuvre sur le comportement





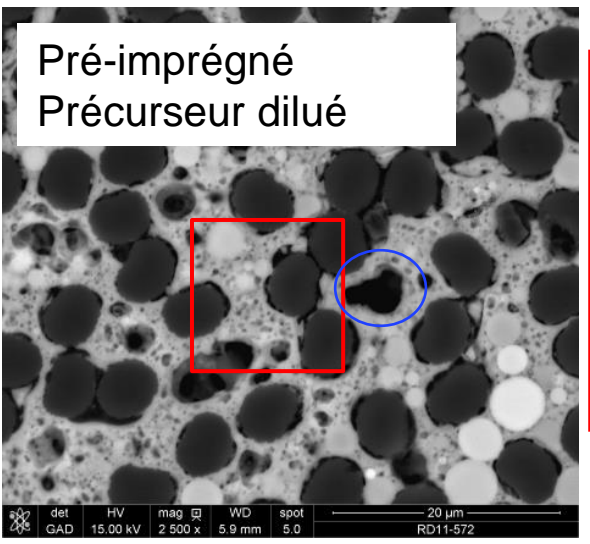


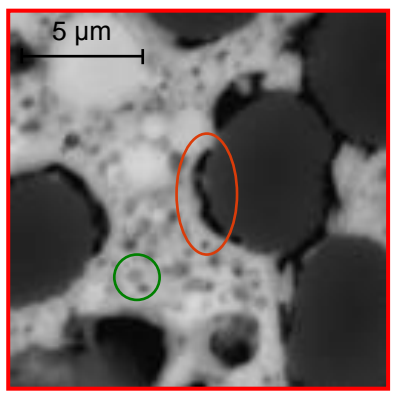
Composite	<b>Précurseur</b>	<b>Epaisseur</b>	$V_f$	PO	E	$\sigma_{\!\scriptscriptstyle R}$	
Pré-imprégné	dilué 3%	1.75 mm	39 %	20.3 %	68 Gpa	257 Mpa	
RTM		2.10 mm	39 %	25.2 %	64 GPa	207 MPa	

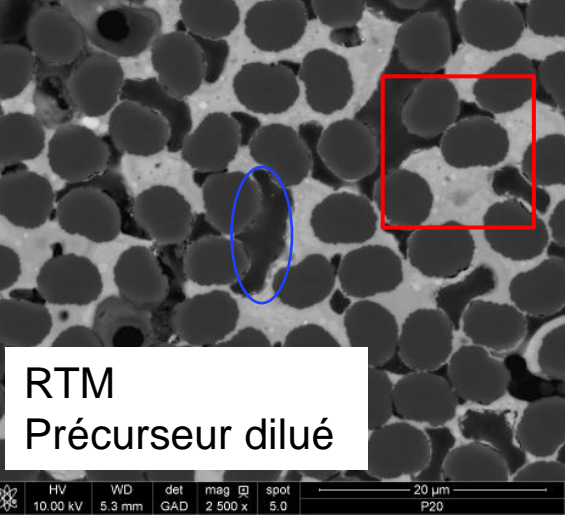


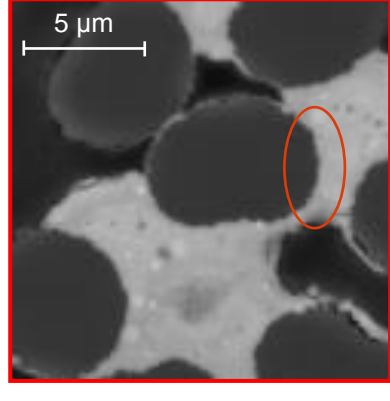


# Effet de la mise en œuvre sur le comportement





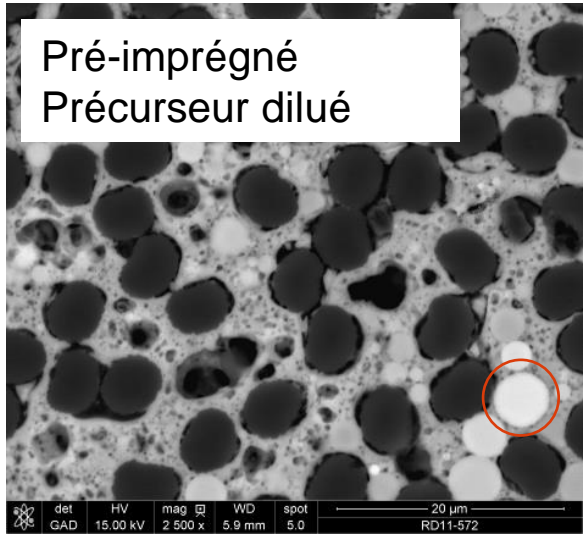


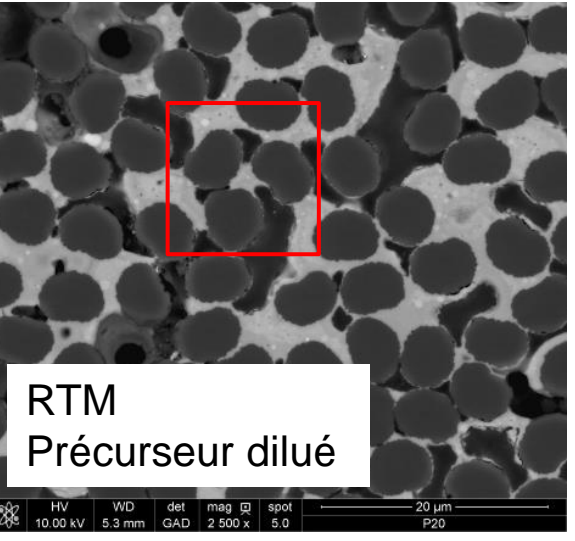


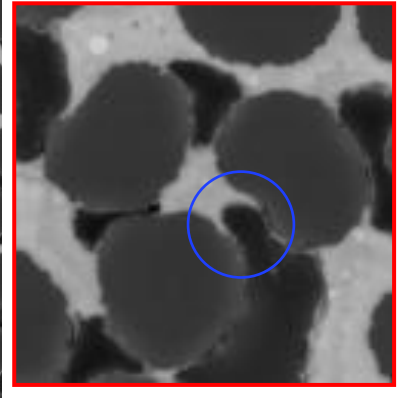
- Différence de microstructure intratorons entre les matériaux préimprégnés et élaborés par RTM
  - Pores de grande taille (>1µm) plus nombreux en RTM
  - Peu de pores de petite taille (<1µm)</li>
  - Amélioration de la continuité de l'interface fibre-matrice



# Perspectives envisagées







- Comment diminuer la porosité intratorons en RTM ?
- Quelle microstructure de matrice est la plus favorable pour le comportement mécanique ?
- Quelle est l'origine de cette différence de microstructure intra-torons ?
  - Écoulements capillaires
  - Filtration
- En cours : meilleure compréhension de la rhéologie
  - Suspension polyphasée
  - Thixotropie

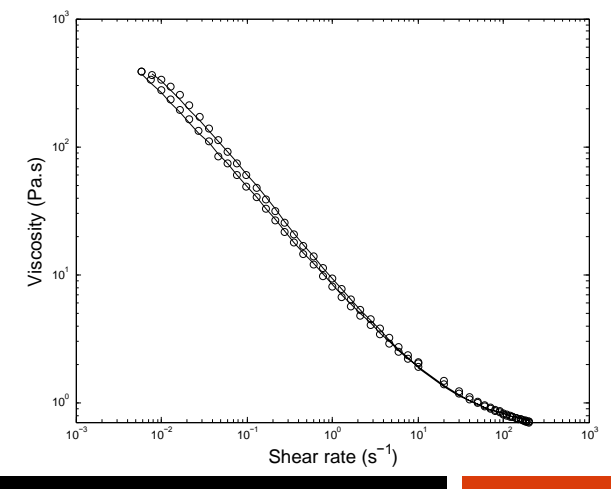


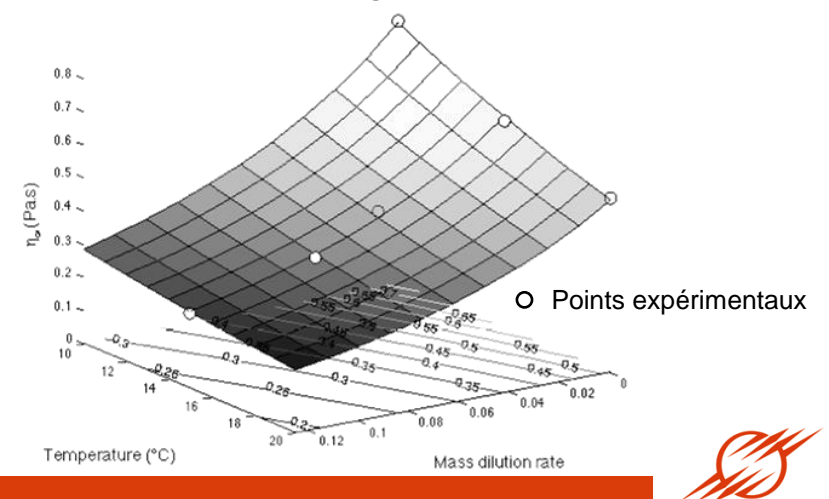
# Modèle de comportement thixotrope

- Données bibliographiques [1,2]
  - Suspension concentrée de particules minérales dans une solution aqueuse
    - Hypothèse : suspensions à deux échelles distinctes
      - Une phase fluide de viscosité  $[\eta_f]$
      - Une population de grandes particules (concentration  $\phi_1$ )
      - Une population de petites particules (concentration  $\Phi_2$ )

Albi-Carmaux

- Pas d'interactions entre les deux populations
- A chaque échelle est associé un modèle de Krieger Dougherty de caractéristiques identiques
- Au cours de la dissolution, le comportement tend vers un comportement newtonien
  - Le caractère thixotrope est attribué uniquement aux particules de grande taille





[1] Xu and Deventer, 2000

[2] Bourlon, 2010



# Mise en œuvre par voie liquide de composites à matrice inorganique pour applications hautes températures

Gilles Dusserre, Anaïs Farrugia, Thierry Cutard

# **Annexes**



Mise en œuvre par voie liquide de composites à matrice inorganique

11/04/2016



### Intérêt des procédés voie liquide

Procédés industrialisables et automatisables (production en moyenne série)

### Précurseur liquide

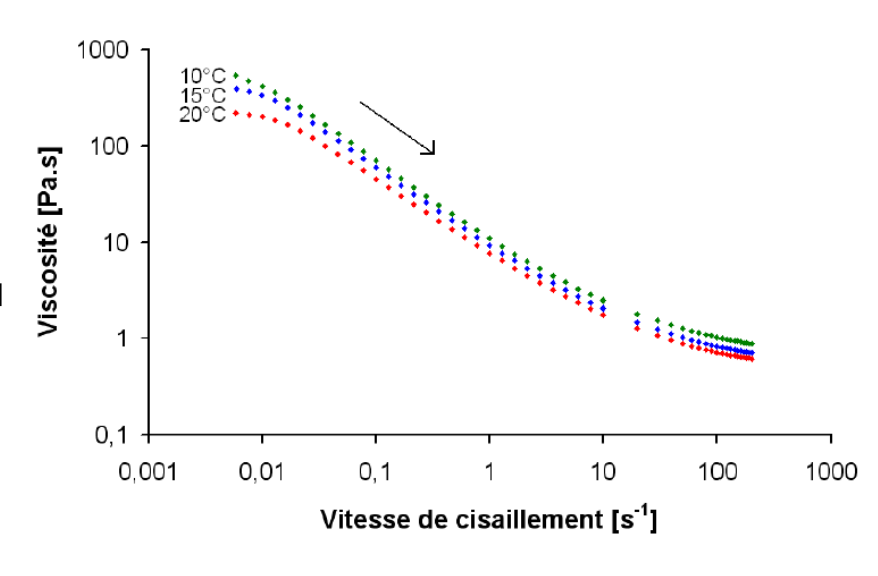
 Suspension concentrée de particules minérales (aluminosilicates) dans une solution aqueuse de silicates

### Avantage : durcissement à basse température (<100°C)</p>

- Mécanisme [1,2]
  - Dissolution des particules minérales
    - silicates et aluminates
  - Formation d'oligomères d'aluminosilicates
  - Polycondensation de ces oligomères

# Inconvénient : comportement rhéologique du précurseur

- Comportement thixotrope
- Forte viscosité aux faibles taux de cisaillement



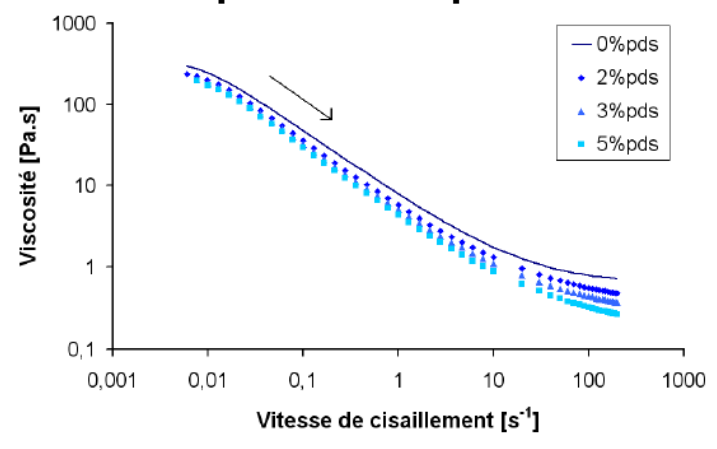
[1] Xu and Deventer, 2000

[2] Bourlon, 2010

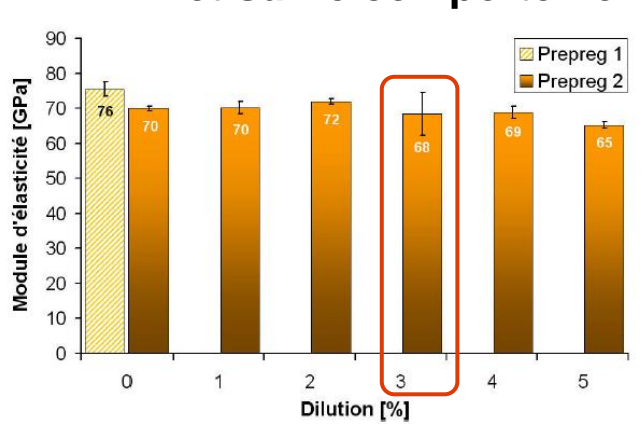


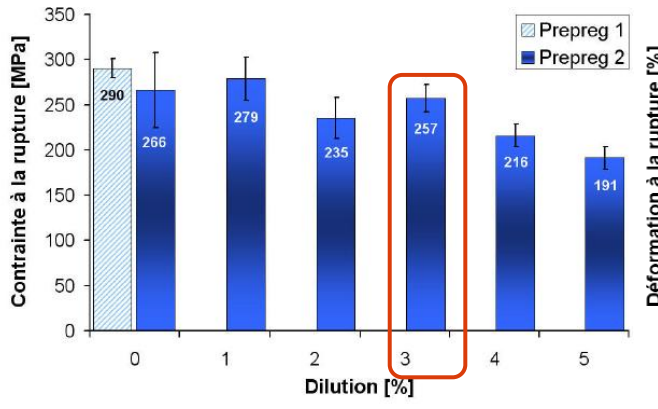
# Effet de la dilution du précurseur

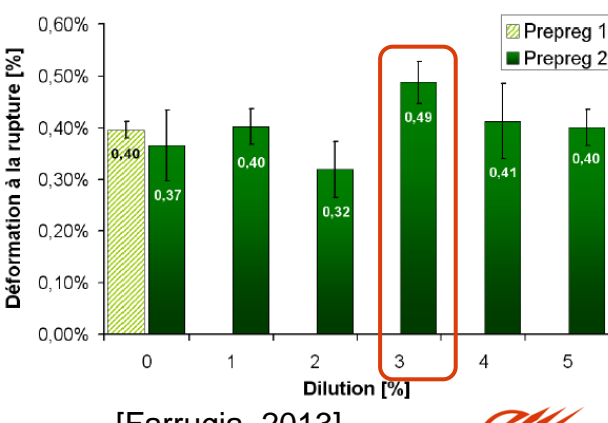
Objectif : diminuer la viscosité du précurseur pour favoriser l'imprégnation



Effet sur le comportement du matériau pré-imprégné



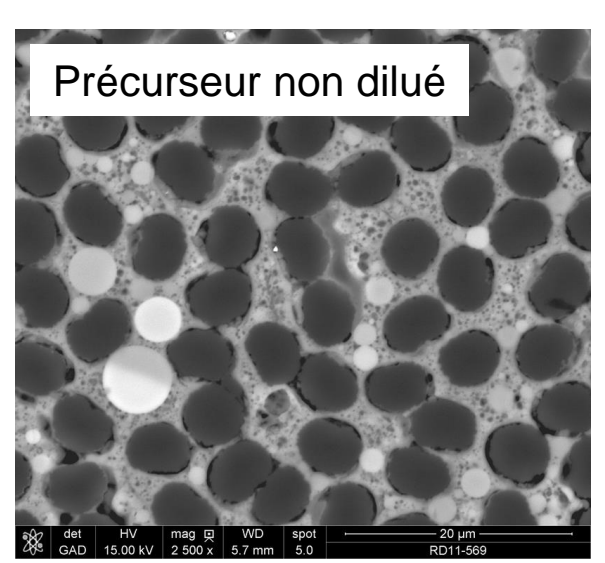


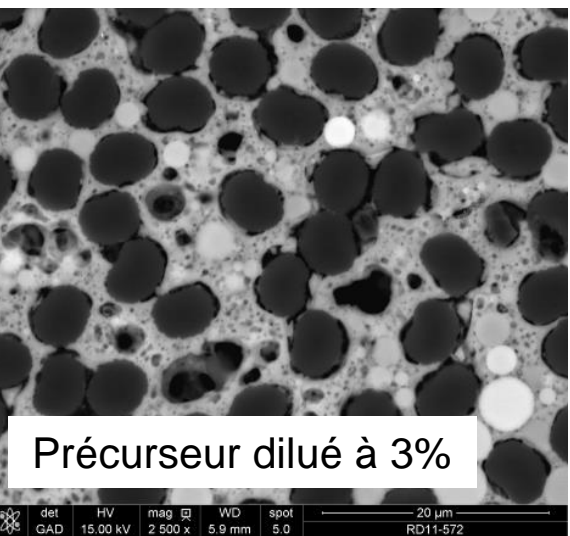


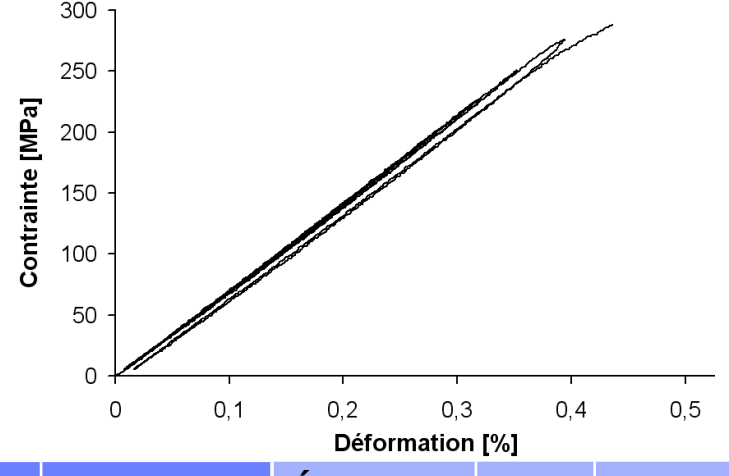
**MINES** 

Albi-Carmaux

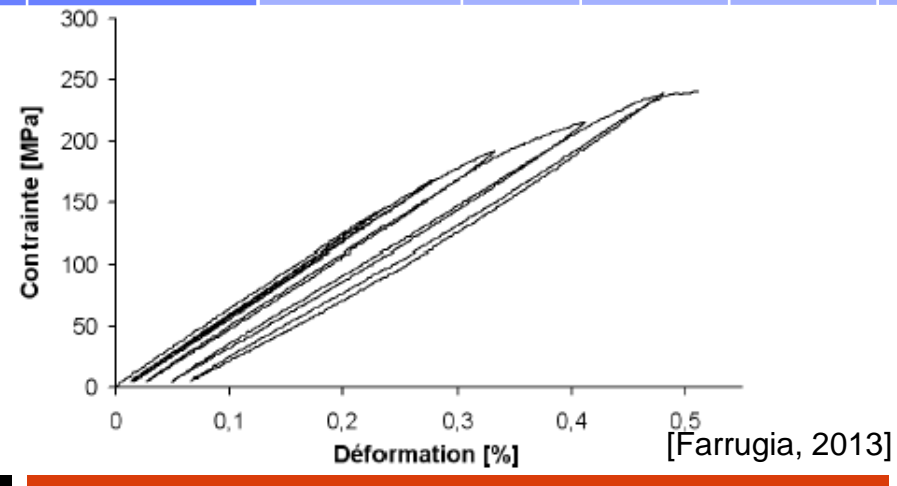
# Effet de la dilution sur le matériau pré-imprégné





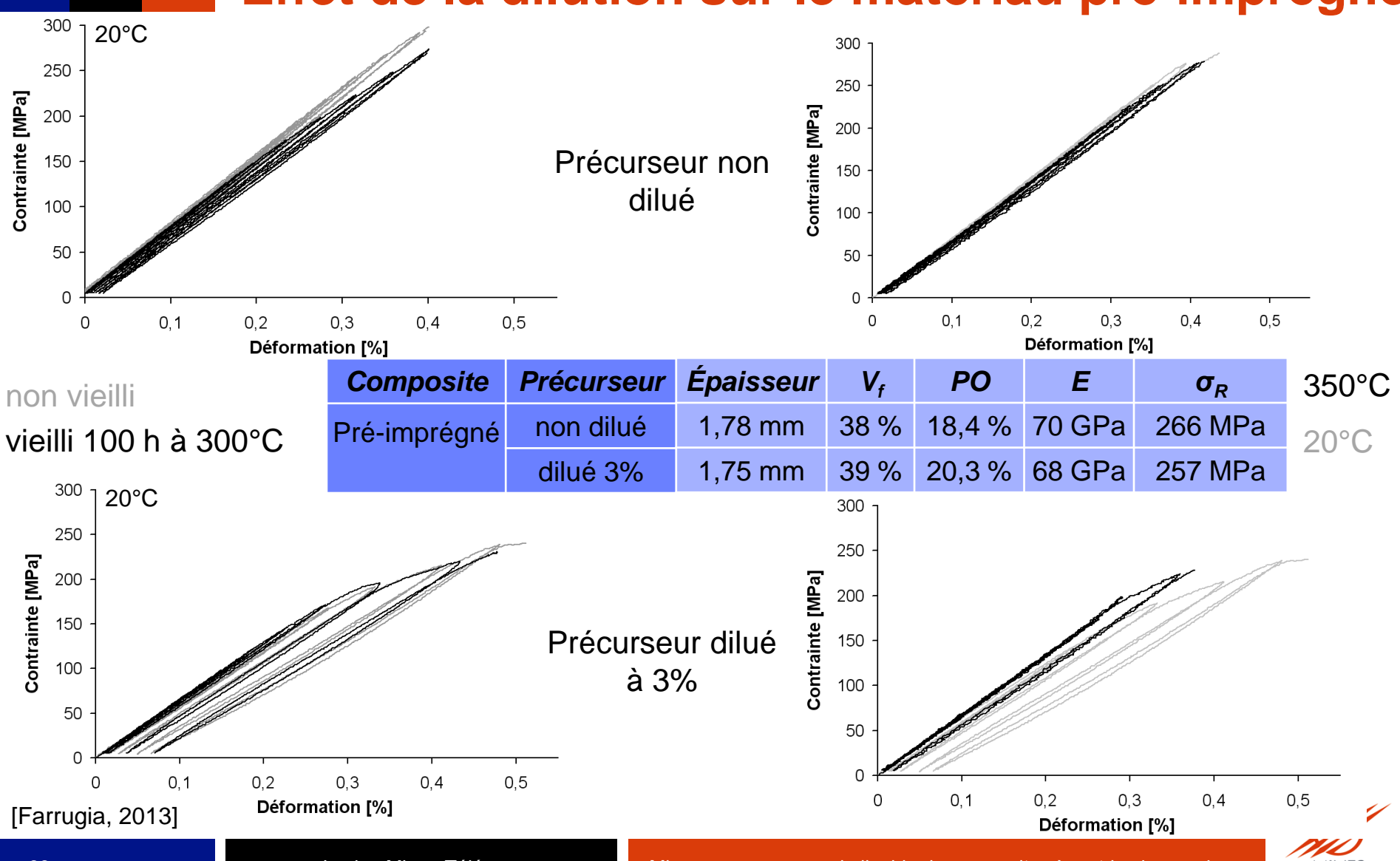


Composite	Précurseur	Épaisseur	$V_f$	PO	E	$\sigma_{\!\scriptscriptstyle R}$
Pré-imprégné	non dilué	1,78 mm	38 %	18,4 %	70 GPa	266 MPa
	dilué 3%	1,75 mm	39 %	20,3 %	68 GPa	257 MPa





# Effet de la dilution sur le matériau pré-imprégné



Albi-Carmaux

# Mise en œuvre par voie liquide

### Intérêt des procédés voie liquide

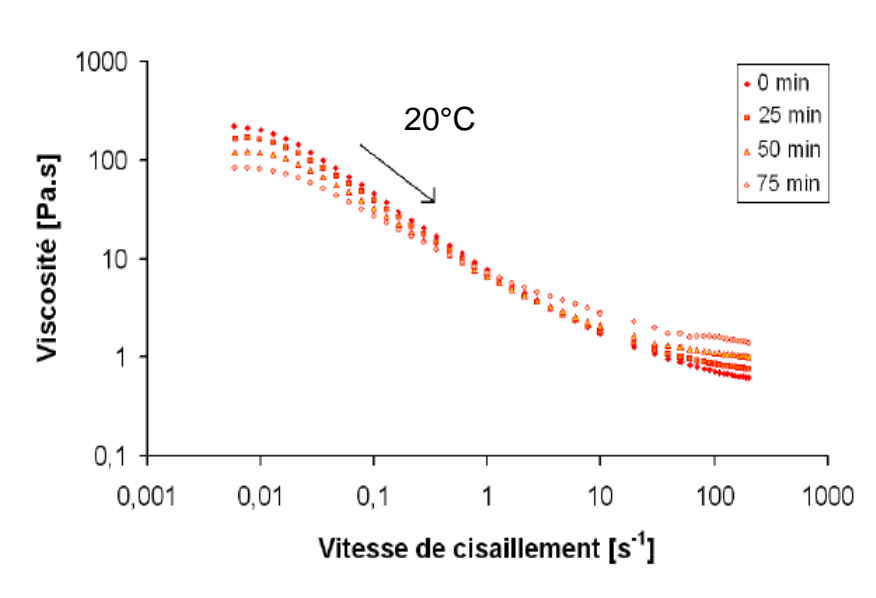
Procédés industrialisables et automatisables (production en moyenne série)

### Précurseur liquide

Suspension concentrée de particules minérales (aluminosilicates) dans une solution aqueuse de silicates

### Avantage: durcissement à basse température (<100°C)

- Mécanisme [1,2]
  - Dissolution des particules minérales
    - silicates et aluminates
  - Formation d'oligomères d'aluminosilicates
  - Polycondensation de ces oligomères
- Inconvénient : comportement rhéologique du précurseur
  - Comportement thixotrope
  - Forte viscosité aux faibles taux de cisaillement



[1] Xu and Deventer, 2000

[2] Bourlon, 2010

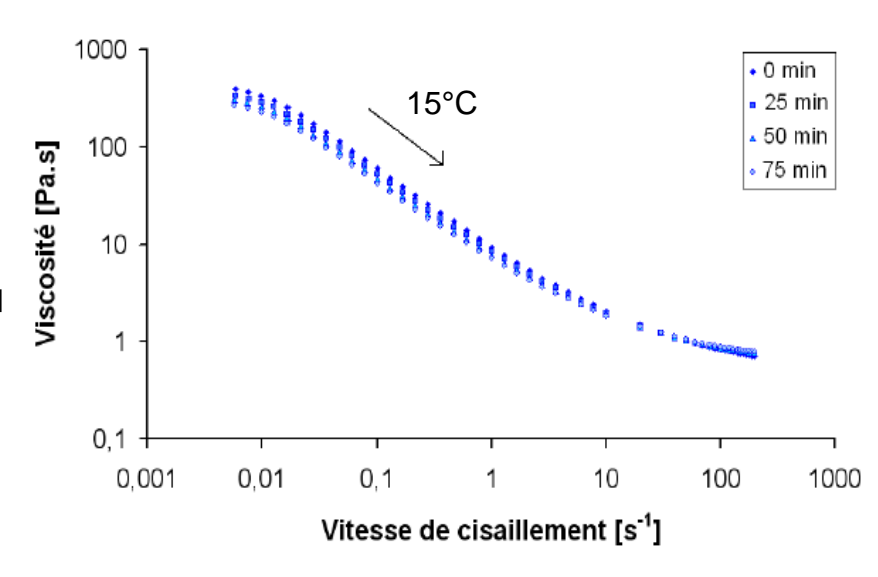
21

[Farrugia, 2013]



# Mise en œuvre par voie liquide

- Intérêt des procédés voie liquide
  - Procédés industrialisables et automatisables (production en moyenne série)
- Précurseur liquide
  - Suspension concentrée de particules minérales (aluminosilicates) dans une solution aqueuse de silicates
- Avantage : durcissement à basse température (<100°C)</p>
  - Mécanisme [1,2]
    - Dissolution des particules minérales
      - silicates et aluminates
    - Formation d'oligomères d'aluminosilicates
    - Polycondensation de ces oligomères
- Inconvénient : comportement rhéologique du précurseur
  - Comportement thixotrope
  - Forte viscosité aux faibles taux de cisaillement



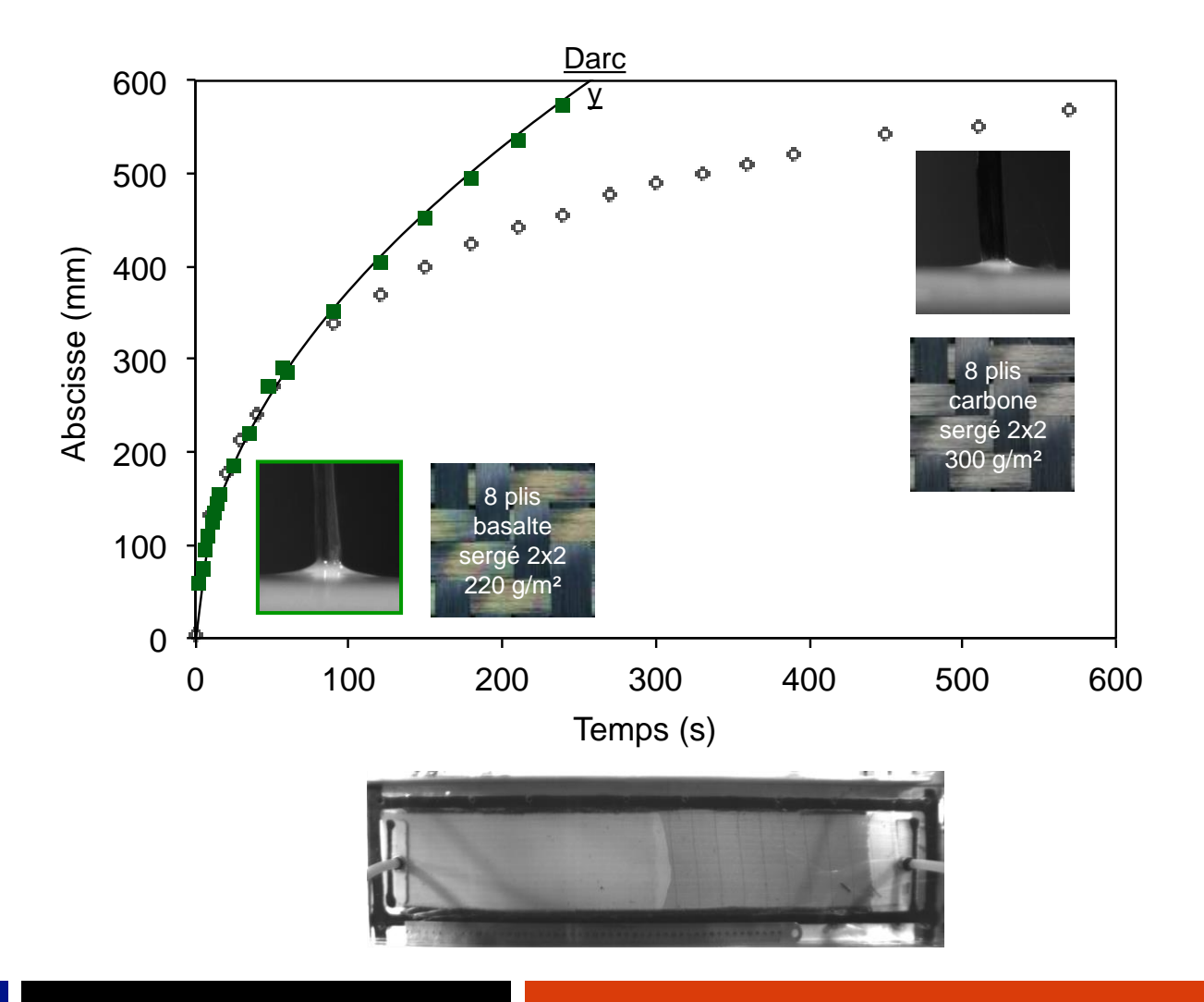
[1] Xu and Deventer, 2000

[2] Bourlon, 2010

[Farrugia, 2013]



# Perspectives envisagées







### ■ Données bibliographiques [1,2]

- Suspension concentrée de particules minérales dans une solution aqueuse
  - Hypothèse : suspensions à deux échelles distinctes
    - Une phase fluide de viscosité η<sub>f</sub>
    - Une population de grandes particules (concentration  $\Phi_1$ )
    - Une population de petites particules (concentration  $\phi_2$ )
    - Pas d'interactions entre les deux populations
  - A chaque échelle est associé un modèle de Krieger Dougherty de caractéristiques identiques

- Dissolution des particules minérales de grande taille
  - Diminution de  $\Phi_1$  et augmentation de  $\Phi_2$

### Hypothèse

• Conservation du volume de particules au cours de la dilution

$$\phi_2^t = \phi_2^0 + \frac{\phi_1^0 - \phi_1^t}{1 - \phi_1^t} (1 - \phi_2^0)$$

$$\phi_2^{\infty} = \phi_2^0 + \phi_1^0 (1 - \phi_2^0)$$

[1] Xu and Deventer, 2000

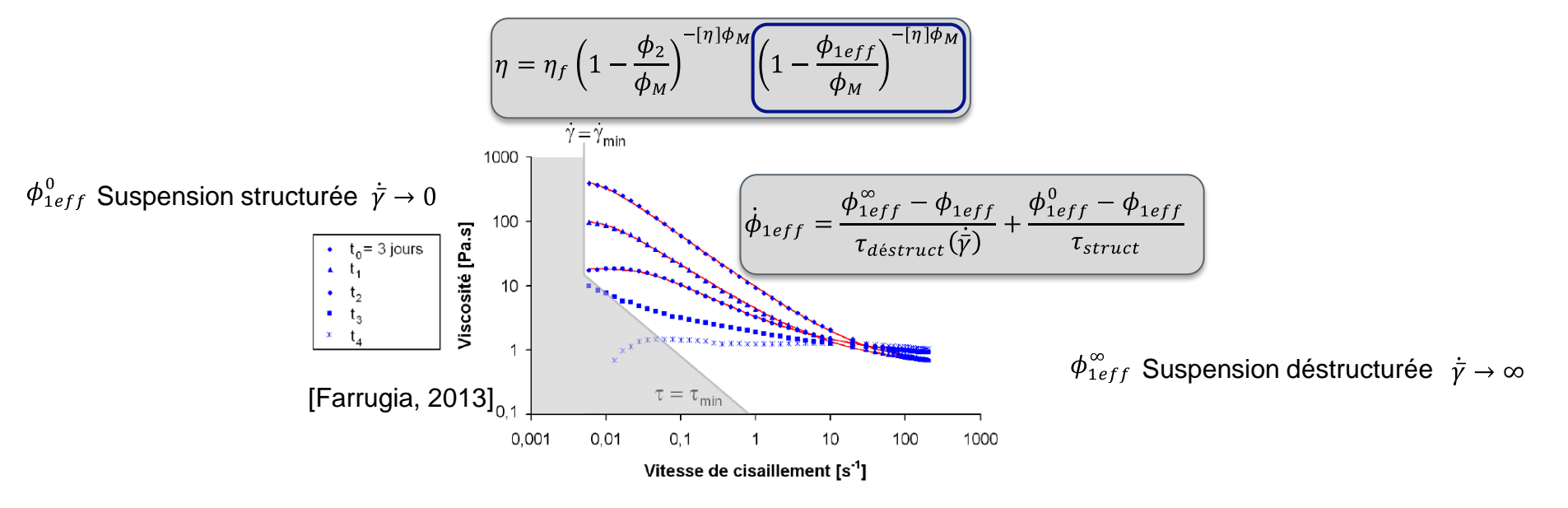
[2] Bourlon, 2010



# Modèle de comportement thixotrope

### Constatation expérimentale

- Au cours de la dissolution, le comportement tend vers un comportement newtonien
  - Le caractère thixotrope est attribué uniquement aux particules de grande taille



Après dissolution complète

$$\eta_{\infty}^{\infty} = \eta_f \left( 1 - \frac{\phi_2^{\infty}}{\phi_M} \right)^{-[\eta]\phi_M}$$

$$\phi_2^{\infty} = \phi_M \left( 1 - \left( \frac{\eta_{\infty}^{\infty}}{\eta_f} \right)^{\frac{1}{-[\eta]\phi_M}} \right) < \phi_M$$



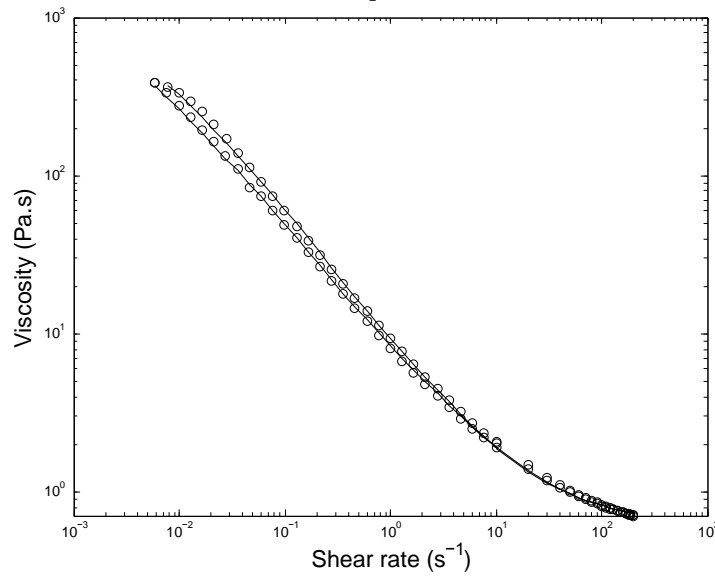


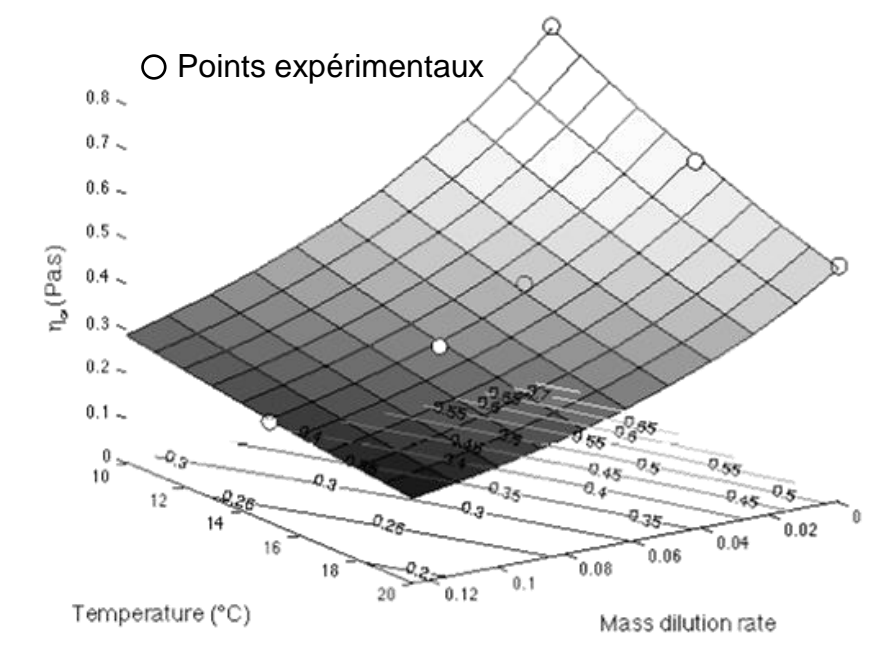
### Identification

- Effet de la température  $\left(\eta_f = \eta_{f0} e^{\frac{E_a}{RT}}\right)$
- Effet de la dilution
  - x : taux de dilution

$$\phi_1^x = \frac{\phi_1}{1+x} \\ \phi_2^x = \phi_2 \frac{1-\phi_1}{1-\phi_1+x}$$

### Comportement thixotrope





$$\dot{\phi}_{1eff} = \frac{\phi_{1eff}^{\infty} - \phi_{1eff}}{\tau_{d\acute{e}struct}(\dot{\bar{\gamma}})} + \frac{\phi_{1eff}^{0} - \phi_{1eff}}{\tau_{struct}}$$

